# Atividade Orientada a Ensino: Estudo da estabilidade de sistemas via LMI's

Pedro Henrique Acioly Amaral<sup>1</sup>, Prof. Dr. Victor Leonardo Yoshimura<sup>2</sup>

<sup>11</sup>Discente do Curso de Engenharia da Computação, UFMS pedro-h-a-amaral@ufms.br <sup>2</sup>Faculdade de Computação, Universidade Federal de Mato Grosso do Sul (UFMS) Campo Grande – MS – Brasil victor.yoshimura@ufms.br

Abstract. This report addresses the design of controllers for linear time-invariant continuous (LTI-C) systems using the state-feedback methodology. The stability of the closed-loop system is analyzed from the perspective of Lyapunov's Theorem, which leads to a stability condition in the form of a matrix inequality. The inherent non-linearity of this inequality is overcome through a change of variables, transforming the controller design problem into a convex optimization problem involving Linear Matrix Inequalities (LMIs). This approach is then applied to a practical system of two communicating tanks, where a state-feedback controller is synthesized to regulate the tank level and to track a reference signal. Simulations of the controlled system, carried out in the Xcos/Scilab environment, validate the effectiveness of the designed controller.

Resumo. Este relatório aborda o projeto de controladores para sistemas lineares invariantes no tempo contínuos (SLIT-C) utilizando a metodologia de realimentação de estados. A estabilidade do sistema em malha fechada é analisada sob a ótica do Teorema de Lyapunov, que conduz a uma condição de estabilidade na forma de uma desigualdade matricial. A não linearidade intrínseca desta desigualdade é contornada através de uma mudança de variáveis, transformando o problema de projeto do controlador em um problema de otimização convexa envolvendo Desigualdades Matriciais Lineares (LMI). Esta abordagem é então aplicada a um sistema prático de dois tanques comunicantes, onde um controlador de realimentação de estados é sintetizado para regular o nível do tanque e para seguir um sinal de referência. As simulações do sistema controlado, realizadas no ambiente Xcos/Scilab, validam a eficácia do controlador projetado.

Controle por Realimentação de Estados, Estabilidade de Lyapunov, Desigualdades Matriciais Lineares (LMI), Sistemas de Tanques, Controle de Processos.

## 1. Introdução

Considere um sistema linear, invariante no tempo e contínuo (SLIT-C) com uma única entrada e uma única saída (SISO), representado no espaço de estados por [Ogata 2010]:

$$\dot{x} = Ax + Bu \tag{1}$$

$$y = Cx + Du \tag{2}$$

onde  $x \in \mathbb{R}^n$  é o vetor de estados,  $u \in \mathbb{R}$  é a entrada de controle,  $y \in \mathbb{R}$  é a saída do sistema, e A, B, C, D são matrizes de dimensões apropriadas. O problema fundamental

do controle é escolher a lei de controle u de forma a garantir a estabilidade do sistema e, possivelmente, atender a outros critérios de desempenho.

## 2. Projeto do Controlador por Realimentação de Estados

Utilizaremos a técnica de realimentação de estados, que pressupõe que todos os estados  $x_1, x_2, \ldots, x_n$  são mensuráveis. O objetivo é projetar um vetor de ganhos  $K = [k_1, k_2, \ldots, k_n]$  para compor o sinal de controle da seguinte forma:

$$u = -Kx = -(k_1x_1 + k_2x_2 + \cdots + k_nx_n)$$

A substituição desta lei de controle na equação de estados do sistema resulta no sistema em malha fechada:

$$\dot{x} = Ax + B(-Kx)$$
$$\dot{x} = (A - BK)x$$

Definindo a matriz de malha fechada como  $A_f = (A - BK)$ , o sistema se torna  $\dot{x} = A_f x$ . A estabilidade deste sistema autônomo depende dos autovalores da matriz  $A_f$ . Um procedimento para determinar K é a Fórmula de Ackerman, que permite alocar os polos de malha fechada em posições desejadas. Outra abordagem, mais robusta e explorada neste trabalho, baseia-se no Teorema de Lyapunov.

### 2.1. Estabilidade de Lyapunov e LMIs

O Teorema de Lyapunov estabelece que o sistema em malha fechada  $\dot{x} = A_f x$  é assintoticamente estável se, e somente se, existe uma matriz P simétrica e definida positiva  $(P = P^T > 0)$  tal que  $A_f^T P + P A_f$  seja definida negativa  $(A_f^T P + P A_f < 0)$ .

Substituindo  $A_f = A - BK$  na desigualdade, obtemos:

$$(A - BK)^T P + P(A - BK) < 0$$
  
 $(A^T - K^T B^T) P + PA - PBK < 0$   
 $A^T P + PA - K^T B^T P - PBK < 0$ 

Esta desigualdade é uma Desigualdade Matricial Bilinear (BMI), pois envolve produtos das variáveis de decisão P e K, o que a torna um problema não convexo e de difícil solução no entanto conversão desta condição em uma forma tratável numericamente pode ser feita via Desigualdades Matriciais Lineares (LMIs) [Scherer and Weiland 2000].

Para linearizar o problema, realizamos uma transformação de congruência. Pré e pós-multiplicando a desigualdade por  $P^{-1}$  (que existe e é definida positiva, pois P>0), a desigualdade não se altera. Definimos uma nova variável  $Q=P^{-1}$  e uma variável auxiliar W=KQ. Isso nos leva a:

$$QA^T + AQ - W^TB^T - BW < 0$$

O problema de projeto do controlador se resume a encontrar matrizes Q e W que solucionem o seguinte conjunto de Desigualdades Matriciais Lineares (LMIs):

1. 
$$Q > 0$$
  
2.  $AQ + QA^T - BW - W^TB^T < 0$ 

Este é um problema de otimização convexa que pode ser eficientemente resolvido por solvers numéricos. Uma vez encontradas as soluções para Q e W, o ganho do controlador K é recuperado através da relação  $K=WQ^{-1}$ .

### 3. Aplicação ao Sistema de Tanques Comunicantes

O método LMI será aplicado para projetar um controlador para o sistema de tanques comunicantes ilustrado na Figura 1.

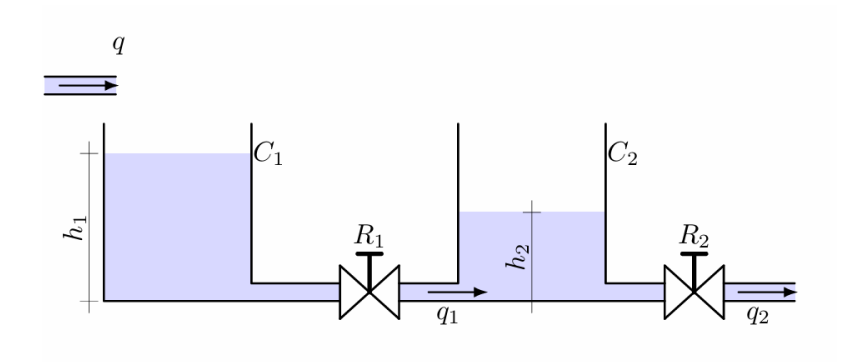


Figura 1. Sistema de tanques comunicantes.

Os parâmetros do sistema são:  $R_1=1\,s/m^2,\,R_2=0.4\,s/m^2,\,C_1=2\,m^2$  e  $C_2=5\,m^2$ . As matrizes do sistema em espaço de estados são:

$$A = \begin{bmatrix} -0.5 & 0.5 \\ 0.2 & -0.7 \end{bmatrix}, \quad B = \begin{bmatrix} 0.5 \\ 0 \end{bmatrix}$$

A saída de interesse é a altura do segundo tanque, portanto:

$$C = \begin{bmatrix} 0 & 1 \end{bmatrix}, \quad D = \begin{bmatrix} 0 \end{bmatrix}$$

#### 3.1. Cálculo do Ganho K via LMI

Um script em Python, utilizando CVXPY com o solver MOSEK, foi implementado para resolver as LMIs (Listagem 30).

```
import numpy as np
  import cvxpy as cp
  def lyapunov_solver():
      # Valores fixos fornecidos
      r1 = 1.0
      r2 = 0.4
      c1 = 2.0
      c2 = 5.0
      # Matriz A fixa
10
11
      A = np.array([
          [-1 / (r1 * c1), 1 / (r1 * c1)],
[ 1 / (r1 * c2), -(r1 + r2) / (r1 * r2 * c2)]
12
13
14
      ])
      # Matriz B fixa
15
      B = np.array([[1 / c1], [0]])
16
      # Matriz C fixa
18
      C = np.array([0, 1])
19
      # Matriz D fixa
20
      D = np.array([0])
      # Vari veis matriciais
21
      P = cp.Variable((2, 2), symmetric=True)
      Q = cp.Variable((2, 2), symmetric=True)
23
      W = cp.Variable((1, 2)) # 1x2
24
25
      # Vari vel auxiliar Z para a express o da inequa o de Lyapunov
      Z = cp.Variable((2, 2), symmetric=True)
26
      # Express o da inequa o de Lyapunov modificada
27
lyap_expr = Q @ A.T + A @ Q + W.T @ B.T + B @ W + Z
```

```
# Problema de otimiza o
29
      objective = cp.Minimize(0)
30
      problem = cp.Problem(objective, [
          P >> 0,
32
           0 >> 0.
           Z \gg 0,
34
           lyap_expr << 0
35
36
37
      # Resolver com MOSEK
      problem.solve(solver=cp.MOSEK,verbose=True)
38
39
       # Calcular K = W @ Q^{-1}
      Q_val = Q.value
40
      W_val = W.value
41
      K = W_val @ np.linalg.inv(Q_val)
42
43 # Retornar os resultados
44
      return {
45
           "K": K,
46 }
47 # Executar e exibir resultados
48 result = lyapunov_solver()
49 print("K =\n", result["K"])
```

Listing 1. Código Python para solução das LMIs e cálculo de K.

O valor do ganho K calculado foi:

$$K = \begin{bmatrix} -1.01271145 & -1.41709803 \end{bmatrix}$$

### 4. Simulação e Resultados

A fim de validar o desempenho do controlador por realimentação de estados obtido via LMIs, foram realizadas simulações no ambiente Xcos/Scilab, considerando dois cenários distintos: um problema de regulação e um problema de rastreamento de referência. As simulações visam verificar a estabilidade do sistema e o comportamento dinâmico das variáveis de estado e do sinal de controle frente aos objetivos propostos.

#### 4.1. Caso 1: Problema de Regulação

Neste primeiro caso, o objetivo é levar o sistema a um ponto de equilíbrio nulo (r=0) partindo de condições iniciais  $x_0=[0.1,0.2]^T$ , usando a lei de controle u=-Kx. O diagrama de simulação implementado no Xcos é ilustrado na Figura 2. A resposta da saída de interesse  $y=x_2(t)$ , que decai exponencialmente para zero, confirmando a estabilização do sistema como previsto pela teoria [Ogata 2010], está representada na Figura 3.

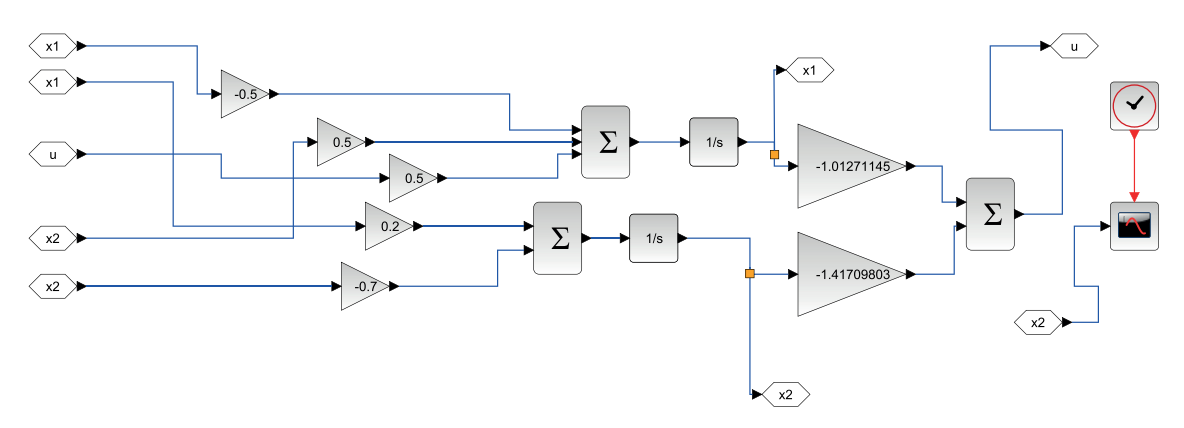


Figura 2. Diagrama X $\cos$  para o problema de regulação (u=-Kx).

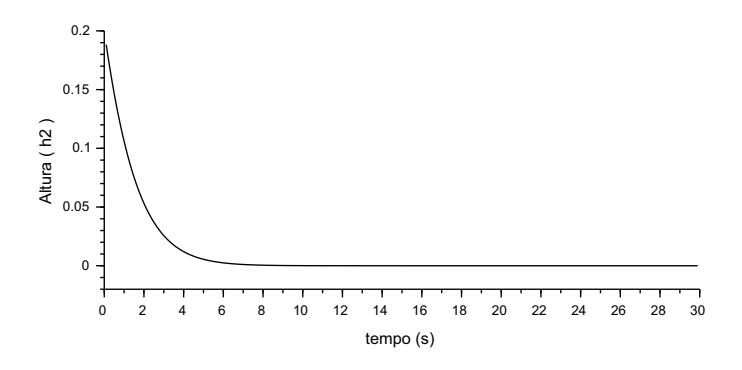


Figura 3. Resposta da saída  $y = x_2(t)$  na regulação.

#### 4.2. Caso 2: Problema de Rastreamento de Referência

Neste cenário, a saída  $y=x_2$  deve seguir uma referência constante r=1, partindo de  $x_0=[0,0]^T$ . A lei de controle é modificada para incluir um ganho de pré-compensação M: u=-Kx+Mr. O cálculo de M foi implementado em Python, conforme demonstrado na Listagem 30). O valor encontrado garante erro nulo em regime permanente para uma referência constante.

$$M = \frac{1}{[\mathbf{D} - (\mathbf{C} + \mathbf{D}\mathbf{K})(\mathbf{A} + \mathbf{B}\mathbf{K})^{-1}\mathbf{B}] \cdot ||\mathbf{K}'||^2} \mathbf{K}'$$

```
# Passo 1: Calcular C_DK = C + DK
      C_DK = C + D @ K
      # Passo 2: Calcular A_BK = A + BK
      A BK = A + B @ K
      # Passo 3: Calcular (A_BK)^-1
     # Isso requer que A_BK seja quadrada e invert vel
10
11
     A_BK_inv = np.linalg.inv(A_BK)
12
     # Passo 4: Calcular Termo_Intermediario = (C + DK)(A + BK)^-1 B
14
     Termo_Intermediario = C_DK @ A_BK_inv @ B
15
      \# Extrai o valor escalar se for uma matriz 1x1
17
      val_D = D.item() if hasattr(D, 'item') and D.size == 1 else D
      Denom_Termo1 = D - Termo_Intermediario
18
      \# Passo 6: Calcular o segundo termo do denominador: ||K'||^2
19
             a transposta de K. A norma ao quadrado cp.sum_squares.
20
2.1
      Norm_K_T_sq = cp.sum_squares(K.T)
     M = (1 / (Denom_Termol * Norm_K_T_sq)) * K.T
23 return {
          "K": K,
24
          "M": M.value
25
26
     }
27 # Executar e exibir resultados
28 print("M =\n", result["M"])
```

Listing 2. Código Python para cálculo de M.

#### 4.3. Implementação no Xcos e Análise das Respostas

Para simular o cenário de rastreamento de referência com a nova lei de controle u=-Kx+Mr. foi necessário atualizar o diagrama de blocos no ambiente Xcos. As modificações envolveram a inclusão de um bloco somador para incorporar o termo Mr, além

do ajuste do sinal de referência e da conexão adequada com os blocos de ganho e planta. A Figura 4 ilustra o diagrama atualizado.

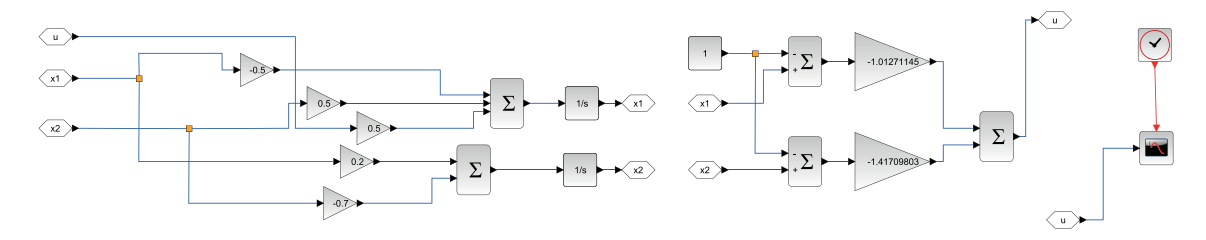


Figura 4. Diagrama Xcos para o rastreamento de referência.

As respostas obtidas com essa configuração são apresentadas nas Figuras 5, 6 e 7. que mostram, respectivamente, a altura do segundo tanque  $x_2(t)$ , a evolução do estado  $x_1(t)$ , e o sinal de controle u(t) aplicado ao sistema.

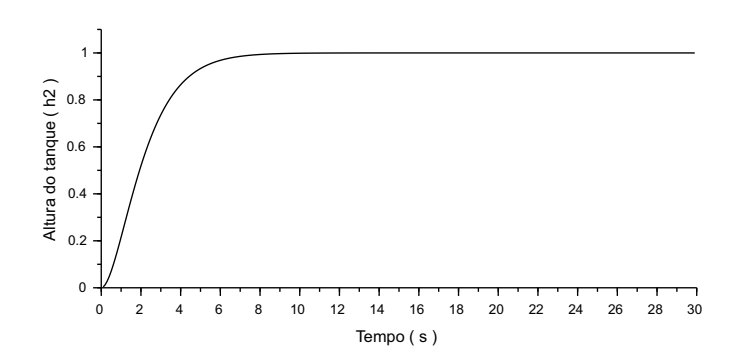


Figura 5. Resposta da saída  $y=x_2(t)$  para referência constante 1.

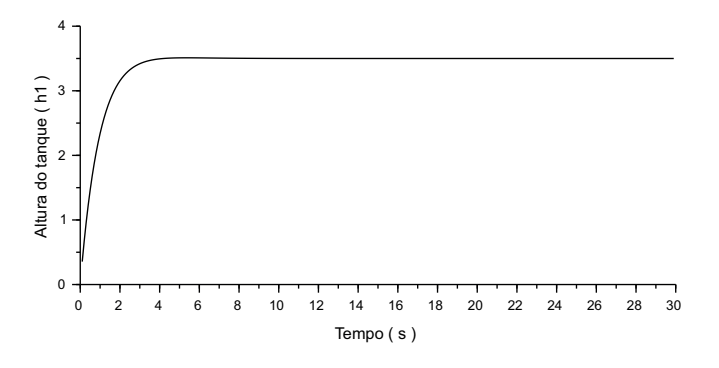


Figura 6. Resposta do estado  $x_1(t)$  para referência constante 1.

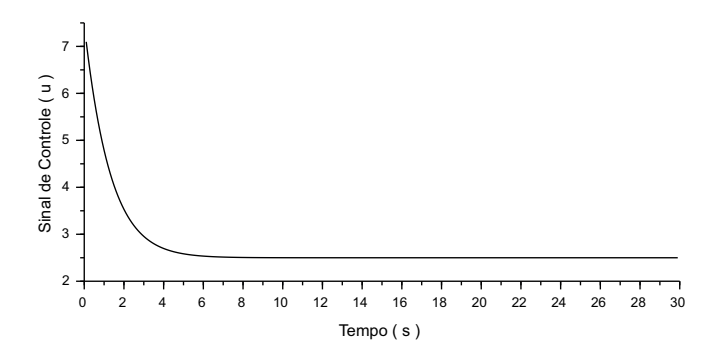


Figura 7. Sinal de controle u(t) para referência constante 1.

As simulações confirmam que a estratégia de controle proposta atinge com êxito os objetivos de rastreamento. A saída  $x_2(t)$  converge para o valor de referência com erro nulo em regime permanente, enquanto o estado  $x_1(t)$  e o controle u(t) também se estabilizam de forma suave, demonstrando a robustez do controlador mesmo diante da introdução de uma referência não nula.

#### 5. Conclusão

Este trabalho demonstrou com sucesso o projeto de um controlador por realimentação de estados utilizando uma abordagem baseada em Desigualdades Matriciais Lineares. A metodologia fundamentada em teorias bem estabelecidas [Scherer and Weiland 2000, Ogata 2010], foi aplicada a um sistema de tanques comunicantes, e os resultados de simulação confirmaram a eficácia do controlador tanto para tarefas de regulação quanto para rastreamento de referência. As simulações realizadas no ambiente Xcos/Scilab comprovaram a eficácia da metodologia, apresentando respostas estáveis e com ótimo desempenho dinâmico. Além disso, o uso de ferramentas computacionais como Python, CVXPY e o solver MOSEK demonstrou ser uma estratégia eficiente para resolver o problema de projeto de forma automatizada, precisa e reprodutível. A técnica LMI prova ser uma ferramenta poderosa e sistemática para o projeto de controladores para sistemas lineares, convertendo um problema de estabilização em um problema de otimização convexa numericamente tratável.

#### Referências

[Ogata 2010] Ogata, K. (2010). *Modern Control Engineering*. Prentice Hall, 5th edition. Um dos livros-texto mais utilizados em engenharia de controle.

[Scherer and Weiland 2000] Scherer, C. and Weiland, S. (2000). *Linear Matrix Inequalities in Control*. SIAM (Society for Industrial and Applied Mathematics), Philadelphia, PA. Referência fundamental para o estudo de LMIs aplicadas a controle, tema central do seu trabalho.